

Algebra di Cartan

Дата un'algebra di Lie \mathfrak{g} , la sua SOTTOALGEBRA di CARTAN è un sottospazio vettoriale $\mathcal{H} \subset \mathfrak{g}$ t.r.

$$[H_1, H_2] = 0 \quad \forall H_1, H_2 \in \mathcal{H}$$

La dimensione di \mathcal{H} , $r = \dim \mathcal{H}$, è detta RANGO di \mathfrak{g} .

Mettiamoci in una rep. R :

- Qui gli elem. di \mathfrak{g} sono rappresentati da MATRICI.
- Le matrici di \mathcal{H} commutano fra loro e quindi possono essere SIMULTANEAMENTE DIAGONALIZZATE.
- Scegliamo come base di V_R una base di autovettori $\{v_e\}_{e=1,\dots,d}$ comuni a tutte le matrici che rappresentano \mathcal{H} .

Allora

$$h_R v_e = \mu_{R,e}(h_R) v_e$$

funzionali lineari su \mathcal{H} (detti PESI di R)

t.c. $\mu_{R,e}(h_R)$ è l'autovaleur di h_R relativo all'autovettore v_e

- Se prendo una base $\{H^1, \dots, H^x\}$ di \mathcal{H} , mi basta sapere cosa fanno $\mu_{R,e}$ su h_R^i $i=1,\dots,r$

$$h_R^i v_e = \mu_{R,e}^i v_e$$

- $\mu_{Ric} \in \mathbb{H}^*$. Al variare di R e i qt. vettori n -dimensionali si distribuiscono su un reticolo n -dim. $\Lambda_w(G)$ detto WEIGHT LATTICE.

- Quanto detto per una gerarchia R vale in particolare per le rep. AGG(UNTA) ($\cong G$). In questo caso, i pesi vengono chiamati ROOTS α_ℓ .
Quante roots ottieniamo? Una dunque $\ell=1, \dots, \dim G$. Tuttavia alcuni di q.ti vett. n -dim. sono triviali, in quanto i vettori H^1, \dots, H^n hanno autovalori nulli.
 $\rightarrow \#_{\substack{\text{non-trivial} \\ \text{roots}}} = \dim G - r$.
- Le roots spaziano su un reticolo, chiamato ROOT LATTICE $\Lambda_{\text{root}}(G)$

Ese. $G = A_1$ con generatori S_x, S_y, S_z ; $r=1 \rightsquigarrow H=S_z$

$$R=2 \quad (\text{doppietto}) \rightsquigarrow \text{autovalori di } S_z: \mu_{2,1} = \frac{1}{2} \quad \mu_{2,2} = -\frac{1}{2}$$

$$R=3 \quad (\text{triplett}) \rightsquigarrow \text{autovalori di } S_z: \mu_{3,1} = 1 \quad \mu_{3,2} = 0 \quad \mu_{3,3} = -1$$

$\uparrow \text{rep. Adj} \quad \# \text{roots} = 3-1 = 2 \uparrow$

$$R=4 \quad \rightsquigarrow \text{autovalori di } S_z: \mu_{4,1} = \frac{3}{2} \quad \mu_{4,2} = \frac{1}{2} \quad \mu_{4,3} = -\frac{1}{2} \quad \mu_{4,4} = -\frac{3}{2}$$

- Se esponentiammo le sottral. di Cartan, otteniamo un sottogruppo ABELIANO $(U(1))^r$:

$$e^{i\beta^i H^i} = e^{i\beta_1 H^1} \cdot e^{i\beta_2 H^2} \cdot \dots \cdot e^{i\beta_n H^n}$$

LINE OPERATORS & GAUGE GROUP

Simmetria d' GAUGE \leftrightarrow ridondanza nelle descrizioni delle teorie



Solo grandezze GAUGE INVARIANT sono ben definite e può osservarle.

In QED $\vec{E} \times \vec{B}$ (ezi $F_{\mu\nu}$) sono gauge inv.; ma qto non è vero per le teorie non-ab. ($F_{\mu\nu} \rightarrow U F_{\mu\nu} U^\dagger$)

Se vogliono costruire quantità gauge invarianti, dobbiamo lavorare con tracce, come $\text{Tr}(F_{\mu\nu} F_{\sigma\rho})$ o Wilson Lines.

WILSON LINES & WILSON LOOPS

Nel linguaggio matematico, A_μ è detta CONNESSIONE. Analogia a $\Gamma_{\mu\nu}^S$ in Relatività Generale; lì era connessione su FIBRATO TANGENTE; qui A_μ è connessione su FIBRATO VETTORIALE generico, donda la FIBRA è V_R

$\Gamma_{\mu\nu}^S$ ci dice come trasportare parallelamente i vettori lungo curve della varietà. A_μ fa lo stesso per i vettori d. V_R .

Consideriamo un campo di bkg $A_\mu(x)$ fisso e mettiamo in gbg bkg uno particelle-test. Qto particella è "canice" sotto il campo di bkg. Per G semplice, qto vuol dire che la particella porta dei fred. d. lis. rappresentati da un vettore $w \in V_R$

Prendiamo un vettore complesso $w \in V_R$ con $w^*w = \text{cost.}$

La connessione ci dice come ruote qto vettore, mentre le particelle copre un percorso sullo spazio-tempo $x^\mu(\tau)$

$$i \frac{dw}{d\tau} = \frac{dx^\mu}{d\tau} A_\mu w \quad \text{PARALLEL TRANSPORT EQUATION}$$

$\downarrow \text{integrazione}$

$$w(\tau_f) = \Omega(x_i, x_f; C) w(\tau_i)$$

$$\Omega(x_i, x_f; C) = P e^{i \int_{\tau_i}^{\tau_f} d\tau \frac{dx^\mu}{d\tau} A_\mu(x(\tau))} = P e^{i \int_{x_i}^{x_f} A}$$

"path ordering" ← quando si espande l'exp
l'ordine delle matrici
 $A_\mu(x(\tau))$ è f.c.
tempi antecedenti
vanno a sinistra

Sotto trasf. gauge : \otimes

$$\Omega(x_i, x_f; C) \mapsto U(x_i) \Omega(x_i, x_f; C) U^\dagger(x_f)$$

Se C è un loop ($x_f = x_i$), Ω ci dice come varia w dopo che le particelle ha fatto un giro (HOLONOMY)

↳ Se facciamo una traccia su R , otteniamo qte ch viene chiamata WILSON LOOP

$$W[C] = \text{tr}_R \Omega(x_i, x_i; C) = \text{tr}_R P e^{i \oint_C A}$$

← probe di cariche
elettriche (autors.
di carica in
rep. R)

$W[C]$ è GAUGE INVARIANTE e dipende da

- R in cui è rappresentata la matrice $A_\mu = A_\mu^a t_R^a$;
- valori di A_μ lungo le curve C .

⊗ Vediamo come trascr. $1 + i A_\mu(x) \delta x^\mu$

$$\text{Nota: } U(x) U^+(x+\delta x) = U(x) \left(U^\dagger(x) + \partial_\mu U^+(x) \delta x^\mu \right) = 1 + U \partial_\mu U^+ \delta x^\mu + \dots$$

$$\begin{aligned} 1 + i A_\mu \delta x^\mu &\mapsto 1 + i (U A_\mu U^+ - i U \partial_\mu U^+) \delta x^\mu = \\ &= 1 + U \partial_\mu U^+ \delta x^\mu + i U A_\mu U^+ \delta x^\mu \\ &= U(x) U^+(x+\delta x) + i U(x) A_\mu U^+(x+\delta x) \delta x^\mu + O(\delta x^2) \\ &= U(x) (1 + i A_\mu^{(x)} \delta x^\mu) U^\dagger(x+\delta x) \end{aligned}$$

$$\Rightarrow (1 + i A_\mu(x_0) (x_1 - x_0)^\mu) (1 + i A_\mu(x_1) (x_2 - x_1)^\mu) \dots (1 + i A_\mu(x_n) (x_{n+1} - x_n)^\mu)$$

$$\begin{aligned} &\mapsto U(x_0) (\dots) \cancel{U^\dagger(x_1)} \cancel{U(x_1)} (\dots) U^\dagger(x_2) \dots \\ &= U(x_0) (\dots) (\dots) \dots (\dots) U^\dagger(x_n) \end{aligned}$$

$$P e^{A(x_1) + A(x_2)} = P \left(1 + A(x_1) + A(x_2) + \frac{1}{2} (A(x_1)^2 + A(x_2)^2 + \underbrace{\frac{A(x_1)A(x_2)}{A(x_2)A(x_1)}}_{x_1 \curvearrowright x_2} + \dots \right)$$

$$\begin{aligned} A(x_1) &\in A(x_2) \\ \text{in gen. non commutano} &= \left(1 + A(x_1) + A(x_2) + \frac{1}{2} (A(x_1)^2 + A(x_2)^2 + \underbrace{2 A(x_1)A(x_2)}_{A(x_2)A(x_1)} + \dots \right) \\ &= (1 + A(x_1)) (1 + A(x_2)) + \dots \end{aligned}$$

$$P e^{i \int_Y A_\mu dx^\mu} \sim P e^{i \sum_{j=0}^N A_\mu(x_j) \delta x^\mu}$$

$$\sim (1 + A_\mu(x_0) \delta x^\mu) (1 + A_\mu(x_1) \delta x^\mu) \dots$$

da trascr. come detto sopra.

WILSON LOOPS & CONFINEMENT

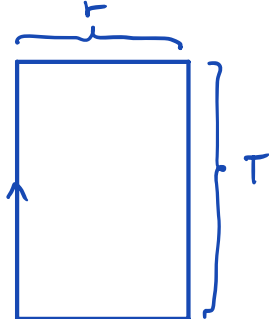
Define the Wilson Loop op

$$W[C] = \text{tr } P e^{i \oint_C A}$$

It's inv is given by:

$$\langle W[C] \rangle = \int dA e^{-S_{\text{YM}}} \text{tr } P e^{i \oint_C A} \quad (\text{Euclidean P.I.})$$

Now, consider the explicit closed loop (FUNDAM. REP.)



Interpretation: creation, separation and annihilation of a quark-antiquark pair

What behaviour do we expect for $\langle W[C] \rangle$?

Since W.L. is gauge inv. we can set a particular gauge: choose $A_0 = 0$.

- Integrals along vertical edges are zero
- Let's def. $M(t)_j^i \equiv [P \circ e^{i \int_0^t dx^i A_i(t, x)}]_j^i$.

$$\Rightarrow \langle W[C] \rangle = \langle M(T)_j^i; M^+(0)_j^i \rangle$$

\uparrow

$$= e^{HT} M(0)_j^i; e^{-HT}$$

- Remember that for long times (Eucl.) P.I. projects the system onto the lowest en. state

$$\langle q | e^{-HT} | q \rangle = \sum_n \langle q | E_n | q \rangle e^{-E_n T} \langle E_n | q \rangle \rightarrow$$

$$\rightarrow \langle q | E_0 | q \rangle e^{-E_0 T} \langle E_0 | q \rangle$$

- Inserting complete set:

$$\langle W[C] \rangle = \sum_n e^{-TE_n(r)} \langle M(0)_j^i; | n \rangle \langle n | M^+(0)_j^i \rangle =$$

$$= \sum_m e^{-TE_m(r)} (\langle M(0)_j^i; | n \rangle)^2 \xrightarrow{T \rightarrow \infty} \sim e^{-TE_0(r)} = V(r)$$

since charges are static

$$\Rightarrow \lim_{T \rightarrow \infty} \langle W[C] \rangle \sim e^{-V(r)T}$$

$$\text{or } V(r) = - \lim_{T \rightarrow \infty} \frac{1}{T} \log \langle W[C] \rangle$$

Now, in the CONFINING PHASE $V(r) \sim \sigma r$ and then we expect

$$\lim_{T \rightarrow \infty} \langle W[C] \rangle \sim e^{-\sigma A[C]}$$

\uparrow
AREA of C

\leadsto AREA LAW CRITERION for confinement

If theory is not in confining phase, we get different behavior

When there is SCREENING, $V(r) \sim \text{const}$ (zero force)

$$\Rightarrow \lim_{T \rightarrow \infty} \langle W[C] \rangle \sim e^{-\frac{V_0}{2} P(C)}$$

\uparrow
PERIMETER of C

One could suspect that in both cases one obtain:

$$\langle W[C] \rangle \xrightarrow{T \rightarrow \infty} 0$$

However, infinities in $P[C]$ can be absorbed by a counterterm localized along C , contrary to $W[e]$.

$$W[C] \rightarrow W'[C] = W[C] e^{-\int_C ds}$$

$\rightarrow \langle W[C] \rangle > 0 \leftrightarrow$ confirming phase

$\langle W[C] \rangle \neq 0 \leftrightarrow$ screening

$\rightarrow W$ is order parameter for phase transition.

This may suggest the existence of a SYMMETRY that is spont. broken in one of the two phases.

$$\lim_{C \rightarrow \infty} \langle W[C] \rangle \neq 0 \longleftrightarrow \lim_{|x-y| \rightarrow \infty} \langle O(x)O(y) \rangle \approx \langle O \rangle^2 \neq 0$$

↑
Sp. breaking of
some sym.

↑
Sp. breaking of
ordinary sym.

• • \leftarrow 0-dim sphere